## 7-1 2012 年 1 月 28 日山梨県東部の地震 The earthquake in the east area of Yamanashi prefecture on Jan. 28, 2012

防災科学技術研究所

National Research Institute for Earth Science and Disaster Prevention

2012年1月28日7時39分頃に山梨県東部を震源とする M<sub>JMA</sub>5.0 の地震が発生した。その4分後の7時43分にほぼ同じ場所で M<sub>JMA</sub>5.5 の地震が発生し、山梨・富士河口湖町と忍野村で最大震度5弱の揺れが観測された。また翌日の29日16時46分には、北に5km離れた場所で M<sub>JMA</sub>4.7 の地震が発生した.28日に発生した2つの地震の防災科学技術研究所高感度地震観測網 Hi-net および広帯域地震観測網 F-net の発震機構解は、ともに北西ー南東圧縮の逆断層型を示す(第1図)。一方、29日に発生した地震は、Hi-net および F-net の発震機構解とも北西ー南東圧縮の横ずれ断層型を示す。波形相関データを用いたDD法<sup>1)</sup>による精密震源決定の結果、28日の地震の余震域は、北東ー南西方向に4kmの広がりを持ち(第1図)、南東方向に向かって高角に深くなる分布を示す(第2図)、深さ方向には、深さ17~23kmの広がりを持つ。発震機構解と余震分布を考慮すると、28日に発生した地震は、北東ー南西走向を持つ断層が活動したと推定される。また今回の地震活動は、震源の深さと発震機構解から、伊豆弧と本州弧との衝突域周辺で発生したと考えられる。

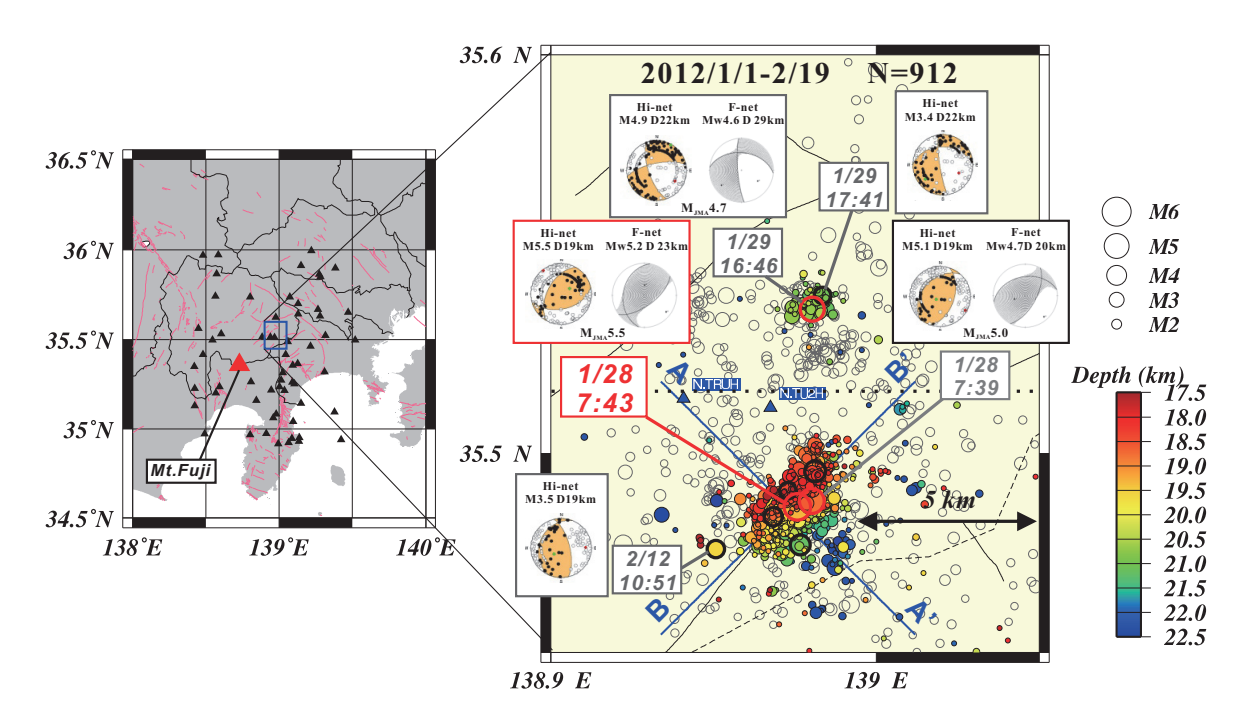
29 日の地震の後は、M4 を超える余震は発生していない (第3図). 震源域の広がりは、本震発生当初から大きく変化しておらず、余震活動は、深さ20kmより浅い場所で活発である (第4図).

(武田 哲也)

## 参考文献

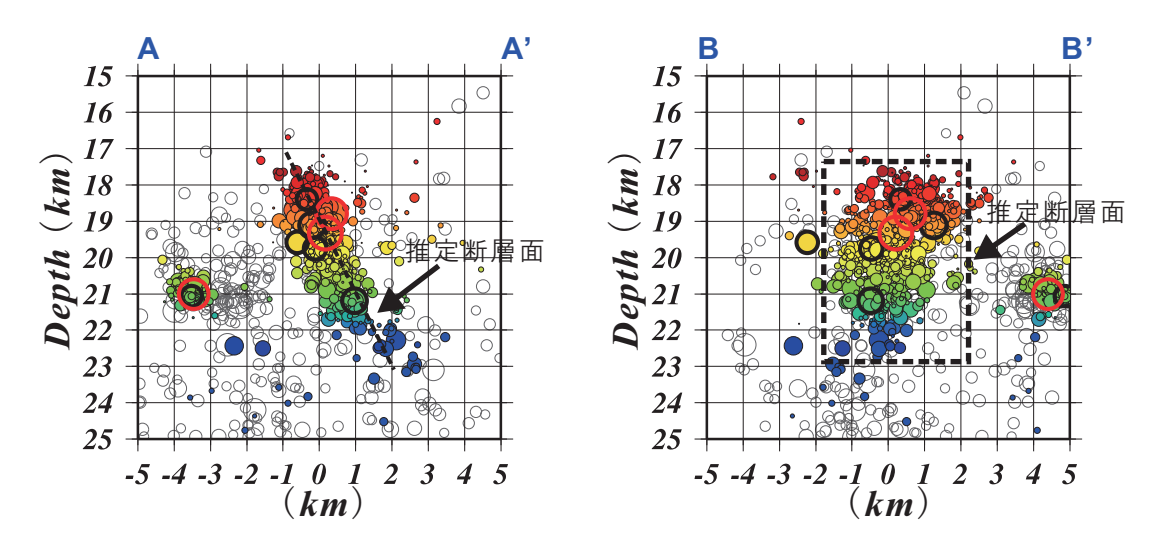
1) Waldhauser F. and W.L. Ellsworth, A double-difference earthquake location algorithm: Method and application to the northern Hayward fault, *Bull. Seism. Soc. Am.*, **90**, 1353-1368, 2000.

謝辞:解析に気象庁と東京大学と神奈川県温泉地学研究所のデータを使用させて頂きました.



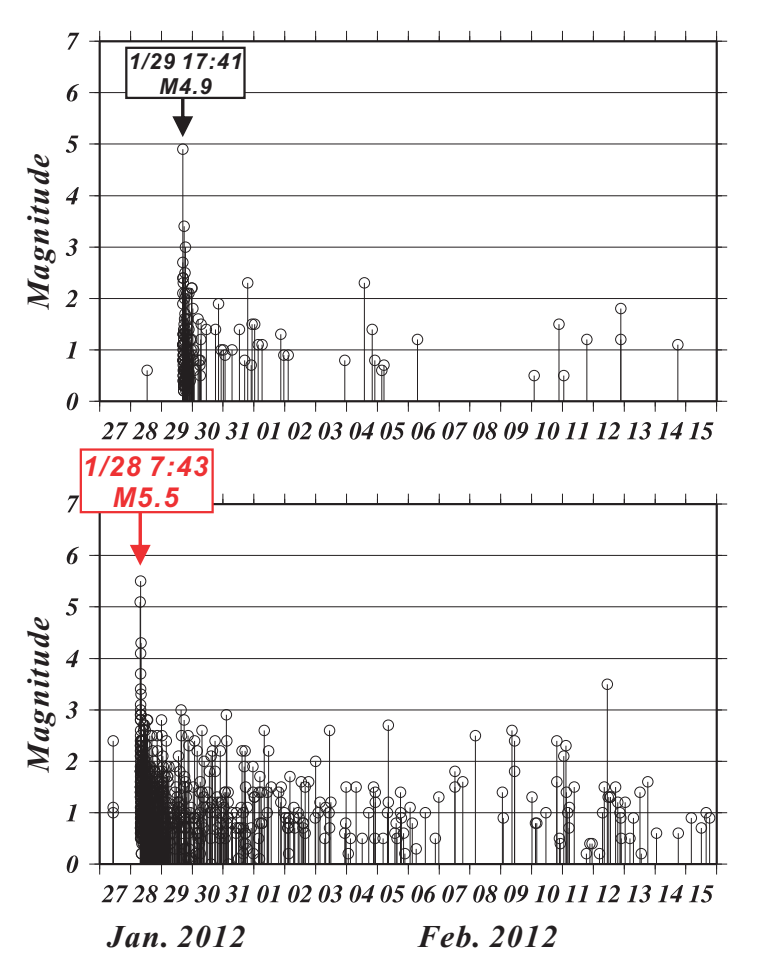
第1図 (左) 領域図. 黒三角は、解析に使用した定常地震観測点. (右) 波形相関データを用いた DD 法 <sup>1)</sup>による精密震央分布 (2012 1/1 - 2/19). 但し、初期震源として自動処理震源を含む、M4.5 以上の地震を太赤丸で、M3.4 以上の地震を太黒丸で囲む. 灰丸は 2000 年から 2011 年までの Hi-net 震源解を示す (M1.5 以上). Hi-net および F-net による発震機構解をそれぞれ橙色と灰色で示す.

Figure 1 (Left) Location map. A black triangle shows a routine seismic station that was used for analysis. (Right) Precise epicenter distribution from Jan. 1 to Feb. 19 2012, which is estimated by using cross-correlation data and the DD method<sup>1)</sup>, is shown. The initial hypocenters for the analysis include the Hi-net preliminary results. An earthquake greater than M4.5 is shown with a solid circle. An earthquake greater than M3.4 is shown with a solid black circle. The Hi-net hypocenters greater than M1.5 from 2000 to 2011 are shown with gray circles. Focal mechanism solutions estimated by Hi-net and F-net are shown in orange and gray, respectively.



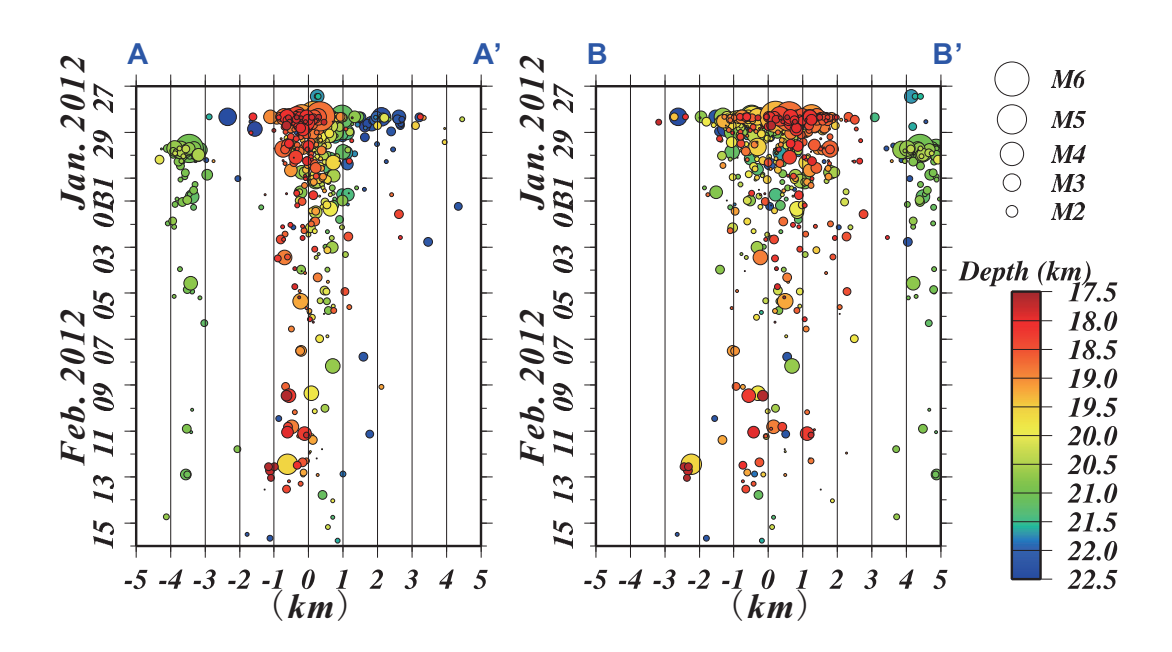
第2図 第1図のA-A'およびB-B'断面に震源を投影した図. M4.5以上の地震を太赤丸で, M3.4以上の地震を太黒丸で囲む. 灰丸は2000年から2011年までのHi-net 震源解を示す(M1.5以上).

Figure 2 Cross sections along A-A' and B-B' lines in Figure 1. The hypocenters in Figure 1 are projected to each cross section. An earthquake greater than M4.5 is shown with a solid red circle. An earthquake greater than M3.4 is shown with a solid black circle. The Hi-net hypocenters greater than M1.5 from 2000 to 2011 are shown with gray circles.



第3図 M-T図(但し, Hi-net自動 震源も含む). 上図は35.515°N 以北の,下図は35.515°N以南 の地震活動.

Figure 3 Magnitude and time variant maps of hypocenters (upper) in the north area of 35.515°N, and (lower) in the south area of 35.515°N, respectively. The hypocenter data includes the Hi-net preliminary results.



第4図 第1図のA-A'およびB-B'に沿った時空間分布図

Figure 4 Space and time variant maps of hypocenters projected to A-A' and B-B' line in Figure 1, respectively.